

УЗАГАЛЬНЕНІ ГРАНИЧНІ УМОВИ РАДІАЦІЙНО-КОНВЕКТИВНОГО ТЕПЛООБМІНУ ТІЛ ЗІ СЕРЕДОВИЩЕМ ЧЕРЕЗ БАГАТОШАРОВІ НЕПЛОСКІ ПОКРИТТЯ

Запропоновано підхід до побудови узагальнених граничних умов радіаційно-конвективного теплообміну тіл зі середовищем через неплоскі багатошарові покриття, який ґрунтується на використанні точного рівняння теплопровідності в шарах покриття та розвиненні функції температури за координатою вздовж нормалі до поверхні поділу тіло–покриття у степеневий ряд. Отримано розрахункові варіанти узагальнених граничних умов з різною точністю. Виведено формули відновлення для розподілу температури за товщиною покриття через граничні значення температури та її похідної в тілі.

Ключові слова: теплопровідність, тонке покриття, багатошарове покриття, узагальнені граничні умови, радіаційно-конвективний теплообмін

Вступ. Побудову узагальнених граничних умов (УГУ) теплообміну тіл зі середовищем через тонкі покриття розглядали у багатьох працях [1, 2, 4–6, 9–14, 17–20, 23–26, 28–32, 34–36, 38–42]. Виведення таких УГУ для неплоских покриттів базується або на апріорному припущенні про постійний [1, 2, 9, 32] чи лінійний [6, 9, 14] розподіл температури за товщиною покриття, або на використанні наближеного рівняння теплопровідності тонких оболонок [18, 22], як у працях [4, 10, 13, 26, 28, 30, 31, 40, 42], що дає можливість отримати наближені УГУ лише з точністю до доданків, які містять лінійні члени за товщиною покриття. Показано [29] необхідність застосування точнішого рівняння теплопровідності та побудовано УГУ для одношарового однорідного покриття.

Нижче, використовуючи точне рівняння теплопровідності, отримали УГУ довільної точності для багатошарового покриття та на прикладі тестової задачі конвективного нагріву циліндра з покриттям проілюстровали випадки, коли важливі додаткові члени вищого порядку в розрахункових варіантах УГУ.

1. **Формулювання задачі.** Досліджували тіло з багатошаровим покриттям товщиною $d = \sum_{i=1}^n d_i$, шари якого виготовлені з різних ізотропних матеріалів. При цьому n -шарове покриття розглядали як тонку оболонку, віднесену до триортогональної змішаної системи координат (a_1, a_2, g) , що є лініями головних кривин поверхні поділу тіло–покриття й нормаллю до неї (рис. 1). Припускали, що поверхня краю S такої оболонки лінійчата, для якої контур G , який обмежує поверхню поділу тіло–покриття S , є на прямою, а нормаль до S у кожній точці контуру – твірною.

Загальне рівняння тривимірної теорії теплопровідності для i -го шару покриття в криволінійній ортогональній змішаній системі координат (a_1, a_2, g) має вигляд [18, 22]

$$\frac{1}{a_1} \frac{\partial}{\partial a_1} \left(H_{2i} H_{3i} \frac{\partial t_i}{\partial a_1} \right) + \frac{1}{a_2} \frac{\partial}{\partial a_2} \left(H_{1i} H_{3i} \frac{\partial t_i}{\partial a_2} \right) + \frac{1}{g} \frac{\partial}{\partial g} \left(H_{1i} H_{2i} \frac{\partial t_i}{\partial g} \right) = \frac{H_{1i} H_{2i} H_{3i}}{a_i} \frac{\partial t_i}{\partial t}, \quad (1)$$

✉ shevchuk@iapmm.lviv.ua

де t_i – температура i -го шару; t – час; H_{ji} – коефіцієнти Ляме; $a_i = l_i / w_i$, l_i , w_i – коефіцієнти температуропровідності, теплопровідності та теплоємність i -го шару.

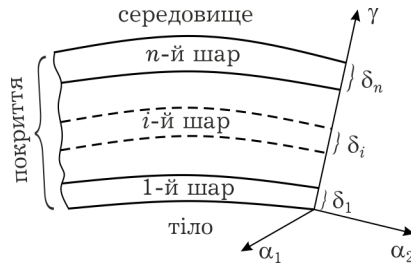


Рис. 1

Подамо формули, які пов'язують коефіцієнти Ляме з коефіцієнтами першої квадратичної форми A_{1i} , A_{2i} поверхонь поділу i -го та $(i-1)$ -го шарів, $i=2, \mathbf{K}, n$, а також поділу тіло–покриття, $i=1$, і кривинами k_{1i} , k_{2i} координатних ліній ($g_0 = 0$ при $i=1$ та $g_{i-1} = \sum_{j=1}^{i-1} d_j$ при $i=2, \mathbf{K}, n$)

$$H_{1i} = A_{1i}(1 + k_{1i}(g - g_{i-1})), \quad H_{2i} = A_{2i}(1 + k_{2i}(g - g_{i-1})), \quad H_{3i} = 1. \quad (2)$$

Враховуючи формули (2), запишемо рівняння теплопровідності (1) так:

$$\begin{aligned} & \frac{1}{A_{1i}A_{2i}} \frac{\partial}{\partial a_1} \left(\frac{\partial A_{2i}}{\partial a_1} \frac{1 + k_{2i}(g - g_{i-1})}{1 + k_{1i}(g - g_{i-1})} \frac{\partial t_i}{\partial a_1} \right) + \\ & + \frac{\partial}{\partial a_2} \left(\frac{\partial A_{1i}}{\partial a_2} \frac{1 + k_{1i}(g - g_{i-1})}{1 + k_{2i}(g - g_{i-1})} \frac{\partial t_i}{\partial a_2} \right) + \\ & + \frac{\partial}{\partial g} \left((1 + k_{1i}(g - g_{i-1})) (1 + k_{2i}(g - g_{i-1})) \frac{\partial t_i}{\partial g} \right) = \\ & = \frac{(1 + k_{1i}(g - g_{i-1})) (1 + k_{2i}(g - g_{i-1}))}{a_i} \frac{\partial t_i}{\partial t}. \end{aligned} \quad (3)$$

Для однорідних шарів покриття (оболонки) таке подання використовували в працях [7, 21].

Уводячи позначення

$$\mathcal{G} = g - g_{i-1}, \quad (4)$$

перепишемо рівняння (3) у вигляді

$$\begin{aligned} & \frac{1}{(1 + k_{1i}\mathcal{G})(1 + k_{2i}\mathcal{G})} \frac{1}{A_{1i}A_{2i}} + \frac{\partial}{\partial a_1} \left(\frac{\partial A_{2i}}{\partial a_1} \frac{1 + k_{2i}\mathcal{G}}{1 + k_{1i}\mathcal{G}} \frac{\partial t_i}{\partial a_1} \right) + \\ & + \frac{\partial}{\partial a_2} \left(\frac{\partial A_{1i}}{\partial a_2} \frac{1 + k_{1i}\mathcal{G}}{1 + k_{2i}\mathcal{G}} \frac{\partial t_i}{\partial a_2} \right) + \\ & + 2k_i \frac{1 + k_{1i}k_{2i}\mathcal{G}}{(1 + k_{1i}\mathcal{G})(1 + k_{2i}\mathcal{G})} \frac{\partial t_i}{\partial g} + \frac{\partial^2 t_i}{\partial g^2} = \frac{1}{a_i} \frac{\partial t_i}{\partial t}, \\ & k_i = \frac{k_{1i} + k_{2i}}{2}, \quad i = 1, \mathbf{K}, n. \end{aligned} \quad (5)$$

Для особливо тонких шарів покриття ($k_{1i}(g - g_{i-1}) \ll 1$, $k_{2i}(g - g_{i-1}) \ll 1$) рівняння (5) можна спростити:

$$D_i t_i + 2k_i \frac{\partial t_i}{\partial g} + \frac{\partial^2 t_i}{\partial g^2} = \frac{1}{a_i} \frac{\partial t_i}{\partial t}, \quad i = 1, \mathbf{K}, n, \quad (6)$$

$$D_i = \frac{1}{A_{1i} A_{2i}} \frac{\partial}{\partial a_1} \frac{\partial}{\partial a_2} + \frac{\partial^2}{\partial a_1^2} + \frac{\partial^2}{\partial a_2^2}. \quad (7)$$

Для променево-конвективного нагрівання (охолодження) тіла з багатошаровим покриттям задача теплопровідності для покриття в контактi з тілом включатиме рівняння теплопровідності (5) або (6), граничні умови радіаційно-конвективного теплообміну на межi покриття–середовище

$$l_n \frac{\partial t_n}{\partial g} = m(t_{11} - t_n) + s_0 e(t_{11}^4 - t_n^4), \quad g = g_n = d, \quad (8)$$

$$l_i l_i t_i = m_i(t_{Si} - t_i) + s_0 e_i(t_{Si}^4 - t_i^4) \quad |_S, \quad (9)$$

$$L_i = \frac{n_1}{A_{1i}} \frac{\partial}{\partial a_1} + \frac{n_2}{A_{2i}} \frac{\partial}{\partial a_2}, \quad i = 1, \mathbf{K}, n;$$

умови ідеального теплового контакту між шарами покриття і покриттям та тілом

$$t_i = t_{i-1}, \quad l_i \frac{\partial t_i}{\partial g} = l_{i-1} \frac{\partial t_{i-1}}{\partial g}, \quad g = g_{i-1}, \quad i = 2, \mathbf{K}, n,$$

$$t_1 = t_1, \quad l_1 \frac{\partial t_1}{\partial g} = l_1 \frac{\partial t_1}{\partial g}, \quad g = g_0 = 0 \quad (10)$$

та початкову умову

$$t_i = t_{i0}(a_1, a_2, g), \quad t = 0, \quad i = 1, \mathbf{K}, n. \quad (11)$$

Тут t_{11} , t_S – температури середовищ, які омивають поверхні покриття $g = d$ і S ; m – коефіцієнт теплообміну між поверхнею покриття і навколишнім середовищем; s_0 – стала Стефана – Больцмана; e – ступінь чорноти поверхні покриття; n_1 , n_2 – компоненти вектора зовнішньої нормалі до поверхні краю S . Індексами i та l позначено величини, що відносяться до i -го шару покриття та тіла відповідно.

2. Узагальнені граничні умови радіаційно-конвективного теплообміну тіл через багатошарові покриття. Будуємо УГУ так. Температуру t_i подамо у вигляді розвинення

$$t_i(a_1, a_2, g, t) = \sum_{m=0}^{\infty} t_i^{(m)}(a_1, a_2, t)(g - g_{i-1})^m, \quad (12)$$

$$g_{i-1} \leq g \leq g_i, \quad i = 1, \mathbf{K}, n.$$

Підставляємо розвинення (12) у рівняння теплопровідності (5), ураховуючи позначення (4) і формули

$$\frac{1 + k_{qi}}{1 + k_{si}} = 1 + \sum_{m=1}^{\infty} (-1)^m k_{si}^{m-1} (k_{si} - k_{qi}), \quad q = 1, 2, \quad s = 3 - q,$$

$$\frac{1}{(1 + k_{1i})(1 + k_{2i})} = \sum_{m=0}^{\infty} (-1)^m k_{i(m)}^m,$$

$$\frac{1 + k_{1i} k_{2i} / k_i}{(1 + k_{1i})(1 + k_{2i})} = \sum_{m=1}^{\infty} (-1)^m \frac{k_{1i} k_{2i}}{k_i} k_{i(m-1)}^m,$$

і отримаємо

$$\begin{aligned}
& \sum_{m=0}^{\infty} \sum_{j=0}^m k_{i,(m-j)} \sum_{l=0}^j (-1)^{m-l} D_{i,j-l} t_i^{(l)} + \\
& + 2k_i \sum_{m=0}^{\infty} \sum_{j=0}^m (m+1) t_i^{(m+1)} + \sum_{m=1}^{\infty} \sum_{j=0}^{m-1} (-1)^{m-j} \cdot \\
& \cdot \sum_{e=0}^{\infty} k_{i,(m-j)} - \frac{k_1 k_{2i}}{k_i} k_{i,(m-j-1)} \sum_{\emptyset}^{\infty} t_i^{(j+1)} \dot{u} + \\
& + \sum_{m=0}^{\infty} (m+2)(m+1) t_i^{(m+2)} = \frac{1}{a_i} \sum_{m=0}^{\infty} \frac{t_i^{(m)}}{\Gamma t}, \\
& 0 < \emptyset < d_i. \tag{13}
\end{aligned}$$

Тут $k_{i(m)} = \sum_{j=0}^m k_{1i}^{m-j} k_{2i}^j$,

$$\begin{aligned}
D_{i,j} &= \frac{1}{A_{1i} A_{2i}} \sum_{e=0}^{\infty} \frac{A_{2i}}{A_{1i}} k_{1i}^{j-1} (k_{1i} - k_{2i}) \sum_{\emptyset}^{\infty} \dot{u} + \\
& + \sum_{\emptyset}^{\infty} \frac{A_{1i}}{A_{2i}} k_{2i}^{j-1} (k_{2i} - k_{1i}) \sum_{\emptyset}^{\infty} \dot{u}, \\
D_{i,0} &= D_i, \quad i = 1, \mathbf{K}, n, \quad j = 1, 2, \mathbf{K}
\end{aligned}$$

З формули (13), прирівнюючи члени біля однакових степенів \emptyset , одержали співвідношення

$$\begin{aligned}
D_{i,0} t_i^{(0)} + 2k_i t_i^{(1)} + 2t_i^{(2)} &= \frac{1}{a_i} \frac{t_i^{(0)}}{\Gamma t}, \\
-(2k_i D_{i,0} + D_{i,1}) t_i^{(0)} + (D_{i,0} - 4k_i^2 + 2k_1 k_{2i}) t_i^{(1)} + 4k_i t_i^{(2)} + 6t_i^{(3)} &= \frac{1}{a_i} \frac{t_i^{(1)}}{\Gamma t}, \\
\sum_{j=0}^m k_{i,(m-j)} \sum_{l=0}^j (-1)^{m-l} D_{i,j-l} t_i^{(l)} + 2k_i \sum_{e=0}^{\infty} (m+1) t_i^{(m+1)} + \\
+ \sum_{j=0}^{m-1} (-1)^{m-j} \sum_{e=0}^{\infty} k_{i,(m-j)} - \frac{k_1 k_{2i}}{k_i} k_{i,(m-j-1)} \sum_{\emptyset}^{\infty} t_i^{(j+1)} \dot{u} + \\
+(m+2)(m+1) t_i^{(m+2)} &= \frac{1}{a_i} \frac{t_i^{(m)}}{\Gamma t}, \quad m \geq 2, \tag{14}
\end{aligned}$$

з яких випливає:

$$\begin{aligned}
t_i^{(m)} &= -\frac{2k_i}{m} t_i^{(m-1)} - \frac{1}{m(m-1)} \sum_{e=0}^{m-2} \sum_{j=0}^e k_{i,(m-j-2)} \sum_{l=0}^j (-1)^{m-l} D_{i,j-l} t_i^{(l)} + \\
& + 2k_i \sum_{j=0}^{m-3} (-1)^{m-j} \sum_{e=0}^{\infty} k_{i,(m-j-2)} - \frac{k_1 k_{2i}}{k_i} k_{i,(m-j-3)} \sum_{\emptyset}^{\infty} t_i^{(j+1)} \dot{u} - \\
& - \frac{1}{a_i} \frac{t_i^{(m-2)}}{\Gamma t} \dot{u}, \quad m \geq 2. \tag{15}
\end{aligned}$$

Уведемо такі позначення для температури та її похідних на поверхнях поділу сусідніх шарів:

$$t_i^+ = \lim_{g \in g_{j-0}} t_i, \quad t_i^- = \lim_{g \in g_{j-1+0}} t_i,$$

$$\frac{\partial t_i}{\partial g}^+ = \lim_{g \in g_{j-0}} \frac{\partial t_i}{\partial g}, \quad \frac{\partial t_i}{\partial g}^- = \lim_{g \in g_{j-1+0}} \frac{\partial t_i}{\partial g} \quad (16)$$

З формул (15) і контактних умов (10) отримали подання для коефіцієнтів розкладу функції температури i -го шару покриття через граничні значення температури та її похідної на верхній межі $(i-1)$ -го шару

$$t_i^{(m)} = c_{i,m} t_{i-1}^+ + d_{i,m} \frac{\partial t_{i-1}}{\partial g}^+, \quad i = 1, \mathbf{K}, n, \quad (17)$$

де коефіцієнти $c_{i,m}$, $d_{i,m}$ визначають рекурентні співвідношення

$$c_{i,0} = 1, \quad c_{i,1} = 0, \quad d_{i,0} = 0, \quad d_{i,1} = \frac{1}{l_i} \quad (18)$$

$$j_{i,m} = -\frac{2k_j}{m} j_{i,m-1} - \frac{1}{m(m-1)} \frac{\partial \hat{a}}{\partial g}^{m-2} k_{i,(m-j-2)} \hat{a}^j (-1)^{m-1} j_{i,1} D_{i,j-1} +$$

$$+ 2k_j \hat{a}^{m-3} (-1)^{m-j} \frac{\partial}{\partial g} k_{i,(m-j-2)} - \frac{k_1 k_{2i}}{k_i} k_{i,(m-j-3)} \frac{\partial}{\partial g} j_{i,j+1} -$$

$$- \frac{j_{i,m-2}}{a_i} \frac{\partial}{\partial t} \hat{u}, \quad j = c, d, \quad m \geq 2, \quad (19)$$

і використали додаткові позначення $t_0^+ = t_1|_{g=0}$, $\frac{\partial t_0}{\partial g}^+ = \frac{\partial t_1}{\partial g}|_{g=0}$, $l_0 = l_1$.

Підставляючи (17) у вираз для температури (12) та її похідної при $g = g_{j-1}$, одержали такі рекурентні співвідношення для температур та її похідних на поверхнях поділу шарів:

$$\%_i = D_i \%_{i-1}, \quad i = 1, \mathbf{K}, n, \quad (20)$$

де

$$\%_i = \frac{\partial t_i}{\partial g}^+ \frac{\partial t_i}{\partial g}^+ \hat{u}^T, \quad i = 1, \mathbf{K}, n, \quad \%_0 = \%_1 = \frac{\partial t_1}{\partial g}|_{g=0} \hat{u}^T, \quad (21)$$

$$D_i = \begin{pmatrix} \hat{a}^{m-0} c_{i,m} d_i^m & \hat{a}^{m-0} d_{i,m} d_i^m & \hat{u} \\ \hat{a}^{m-0} (m+1) c_{i,m+1} d_i^m & \hat{a}^{m-0} (m+1) d_{i,m+1} d_i^m & \hat{u} \end{pmatrix}, \quad i = 1, \mathbf{K}, n. \quad (22)$$

Тепер запишемо подання для температури та її похідної через значення температури та її похідної на поверхні поділу тіло-покриття:

$$\%_j = F_j \%_1, \quad i = 0, \mathbf{K}, n, \quad (23)$$

де

$$F_i = \begin{pmatrix} \hat{f}_i^{11} & \hat{f}_i^{12} \hat{u} \\ \hat{f}_i^{21} & \hat{f}_i^{22} \hat{u} \end{pmatrix}, \quad i = 1, \mathbf{K}, n, \quad F_0 = \begin{pmatrix} \hat{e}^1 & 0 \hat{u} \\ \hat{e}^0 & 1 \hat{u} \end{pmatrix}. \quad (24)$$

Тоді з (23), (20) дістанемо такі рекурентні співвідношення:

$$F_i = D_i F_{i-1}, \quad i = 1, \mathbf{K}, n. \quad (25)$$

Формулу (25) можна записати і так:

$$F_i = D_i D_{i-1} \dots D_1 = \prod_{j=1}^i D_{i-j+1}, \quad i = 1, \mathbf{K}, n. \quad (26)$$

З (23), (21), зокрема, випливає:

$$t_i^+ = F_i^{(1)} \theta_i, \quad i = 1, \mathbf{K}, n, \quad (27)$$

$$\text{де } F_i^{(1)} = \begin{bmatrix} f_i^{11} & f_i^{12} \\ f_i^{21} & f_i^{22} \end{bmatrix}. \quad (28)$$

Слід зауважити, що викладену процедуру подання граничних значень температури та її похідної на поверхні поділу шарів через відповідні значення на поверхні поділу тіло–покриття можна трактувати як реалізацію методу матриць перенесення (transfer matrix method) [15, 33, 37] до процесу теплопровідності в багатошаровому середовищі. Тут матриця D_i розмірністю 2×2 – т. зв. матриця переносу (трансляційна [15, 16]) i -го шару покриття, а матриця F_n – матриця переносу всього n -шарового покриття.

Підставляючи (23) і (27) при $i = n$ у граничну умову радіаційно-конвективного теплообміну (8), на поверхні поділу основа–покриття S отримаємо:

$$[m]_n F_n \theta_i + s_0 \epsilon (F_n^{(1)} \theta_i)^4 - m t_{11} - s_0 \epsilon t_{11}^4 = 0. \quad (29)$$

Оскільки співвідношення (29) пов'язує граничні значення температури t_1 та її похідної θ_1 / θ у тілі зі значенням температури t_{11} у середовищі, то його можна трактувати як *узагальнену граничну умову* для визначення температури в тілі, яка враховує вплив багатошарового покриття на перебіг теплоперенесення в тілі.

З іншого боку, УГУ (29) можна подати в явному вигляді через температуру та її похідну:

$$b_1 t_1 + b_2 \frac{\theta_1}{\theta} + m(t_{11} - t_1) + s_0 \epsilon t_{11}^4 - \sum_{j=0}^4 b_{j+3} t_1^{4-j} \frac{\theta_1^j}{\theta^j} = 0, \quad (30)$$

де коефіцієнти b_1 визначають співвідношення

$$[b_1 \ b_2] = [m \ 0] - [m]_n F_n, \quad (31)$$

$$b_{j+3} = C_4^j (f_n^{11})^{4-j} (f_n^{12})^j, \quad j = 1, \mathbf{K}, 4, \quad (32)$$

а $C_4^j = \frac{4!}{j!(4-j)!}$ – біноміальні коефіцієнти.

Вираз (30) слугує загальним вихідним співвідношенням для отримання розрахункових варіантів УГУ з різною точністю.

3. Розрахункові варіанти узагальнених граничних умов радіаційно-конвективного теплообміну тіл через тонкі багатошарові покриття. Для тонких покриттів умову (30) можна суттєво спростити, розкладаючи в ряд за степенями малих товщин d_i відповідні доданки та нехтуючи члени, які містять $d_i^q d_i^s$ при $q + s > 2$. Тоді

$$b_1 = \sum_{i=1}^n (1 - 2(K - \kappa_{i-1}) + m(H^{-1} - H_{i-1/2}^{-1})) \theta_i - \sum_{i=1}^n \theta_{i,1} - \\ - \frac{\epsilon}{e} (1 - 2K + mH^{-1}) W + \sum_{i=1}^n (2\kappa_{i-1/2} - mH_{i-1/2}^{-1}) W_i \frac{\theta_1}{\theta}.$$

$$\begin{aligned}
b_2 = & -l_1 \frac{\epsilon}{e} - 2K + \sum_{i=1}^n (4K_i R_i - K_{1i} K_{2i}) + m \frac{\alpha}{c} H^{-1} - 2 \sum_{i=1}^n R_{i-1/2} h_i^{-1} \frac{\ddot{\theta}}{\theta} - \\
& - \sum_{i=1}^n H_{i-1/2}^{-1} \frac{\alpha}{c} \theta_i - W_i \frac{\partial \ddot{\theta}}{\partial t}, \\
b_{j+3} = & C_4^j (l_1 H^{-1})^j \frac{\epsilon}{e} - (4-j) \sum_{i=1}^n \alpha \sum_{i=1}^n ((H^{-1} - H_{i-1/2}^{-1}) \theta_i - \\
& - (W H^{-1} - W_i H_{i-1/2}^{-1})) \frac{\partial \ddot{\theta}}{\partial t}, \quad j = 1, \mathbf{K}, 4.
\end{aligned} \tag{33}$$

Тут уведені такі позначення:

$$\theta_i = \frac{L_i}{A_1 A_2} \frac{\epsilon}{e} \frac{\alpha A_{2i}}{c A_1} \frac{\partial \ddot{\theta}}{\partial t} + \frac{\alpha A_{1i}}{c A_2} \frac{\partial \ddot{\theta}}{\partial t}, \quad \theta_{i,1} = \frac{l_i d_i^2}{2} D_{i,1};$$

$L_i = l_i d_i$ – приведена теплопровідність i -го шару; $W_i = w_i d_i$, $h_i = l_i / d_i$, $K_i = k_i d_i$, $K_{1i} = k_{1i} d_i$, $K_{2i} = k_{2i} d_i$ – приведені теплоємність, теплопроник-

ливість і кривини i -го шару; $W = \sum_{i=1}^n W_i$, $H^{-1} = \sum_{i=1}^n h_i^{-1}$, $K = \sum_{i=1}^n K_i$ – приве-

дені теплоємність, термічний опір та кривина усього покриття; $H_i^{-1} = \sum_{j=1}^i h_j^{-1}$;

$$H_0^{-1} = 0; \quad H_{i-1/2}^{-1} = H_{i-1}^{-1} + (2h_i)^{-1}; \quad R_i = \sum_{j=1}^i k_j d_j; \quad R_{i-1/2} = R_i - k_i d_i / 2.$$

Якщо ж у (30) залишити лише лінійні члени при температурі t_1 і похідній $\partial t_1 / \partial g$, отримаємо:

$$\begin{aligned}
b_1 = & \sum_{i=1}^n \theta_i - W \frac{\partial \ddot{\theta}}{\partial t}, \quad b_2 = -l_1 (1 - 2K + m H^{-1}), \\
b_{j+3} = & C_4^j (l_1 H^{-1})^j, \quad j = 0, \mathbf{K}, 4.
\end{aligned} \tag{34}$$

Тоді УГУ можна записати так:

$$\sum_{i=1}^n \theta_i t_1 - l_1 (1 - 2K + m H^{-1}) \frac{\partial t_1}{\partial g} + m(t_{11} - t_1) + F \frac{\alpha}{c} \frac{\partial t_1}{\partial t} \frac{\ddot{\theta}}{\theta} = W \frac{\partial t_1}{\partial t}, \tag{35}$$

де

$$F \frac{\alpha}{c} \frac{\partial t_1}{\partial t} \frac{\ddot{\theta}}{\theta} = s_0 e \frac{\epsilon}{e} t_{11}^4 - \sum_{j=0}^4 C_4^j (l_1 H^{-1})^j t_1^{4-j} \frac{\partial t_1}{\partial t} \frac{\ddot{\theta}}{\theta}. \tag{36}$$

Якщо головні кривини і коефіцієнти першої квадратичної форми поверхонь поділу шарів наближено прийняти рівними відповідним величинам для поверхні поділу тіло–покриття ($A_1 = A_{1i}$, $A_2 = A_{2i}$, $k = k_i$, $i = 1, \mathbf{K}, n$), то УГУ (35) матиме вигляд

$$\theta t_1 - l_1 (1 - 2K + m H^{-1}) \frac{\partial t_1}{\partial g} + m(t_{11} - t_1) + F \frac{\alpha}{c} \frac{\partial t_1}{\partial t} \frac{\ddot{\theta}}{\theta} = W \frac{\partial t_1}{\partial t}, \tag{37}$$

$$\theta = \frac{L}{A_1 A_2} \frac{\epsilon}{e} \frac{\alpha A_2}{c A_1} \frac{\partial \ddot{\theta}}{\partial t} + \frac{\alpha A_1}{c A_2} \frac{\partial \ddot{\theta}}{\partial t}, \quad L = \sum_{i=1}^n L_i, \quad K = kd.$$

Якщо обмежитись у (30) лише лінійними доданками за товщинами d_i при температурі t_1 , отримаємо

$$\sum_{i=1}^n \beta_i t_i - l_1 \frac{\partial t_1}{\partial g} + m(t_{11} - t_1) + F \frac{\alpha}{\epsilon} t_1, \frac{\partial t_1}{\partial g} = W \frac{\partial t_1}{\partial t}, \quad (38)$$

а якщо – при похідній температури $\partial t_1 / \partial g$, то

$$-l_1(1 - 2K + mH^{-1}) \frac{\partial t_1}{\partial g} + m(t_{11} - t_1) + F \frac{\alpha}{\epsilon} t_1, \frac{\partial t_1}{\partial g} = 0. \quad (39)$$

Відкидаючи доданки в умові (30), які містять товщину шарів покриття, одержимо як частковий випадок умову радіаційно-конвективного теплообміну:

$$-l_1 \frac{\partial t_1}{\partial g} + m(t_{11} - t_1) + s_0 \epsilon (t_{11}^4 - t_1^4) = 0. \quad (40)$$

Порівняємо наведені розрахункові варіанти УГУ з наявними в літературі. Зазначимо, що більшість праць стосується конвективного теплообміну для однорідних покриттів без урахування променевої компоненти.

Найпростіший з розрахункових варіантів УГУ (39) (що містить лише лінійні доданки за товщиною при похідній $\partial t_1 / \partial g$ та враховує тільки вплив термоопору та кривини покриття) без урахування кривини ($K = 0$) рівносильний граничній умові [11, с. 28] теплообміну тіла зі середовищем через тонку плівку зі слабопровідного матеріалу, а за урахування кривини – ефективній граничній умові з еквівалентним коефіцієнтом тепловіддачі, наведеній у праці [6].

Варіант УГУ (38), який містить лише лінійні члени за товщиною при температурі t_1 та враховує тільки вплив теплоємності покриття та поздовжні теплові потоки, для одношарового покриття збігається з відповідною умовою в праці [32] та для одновимірного випадку ($\beta = 0$) – з умовою в праці [1], отриманою за схемою "зосередженої ємності" [8].

Більш загальний вираз (37) з лінійними членами як при температурі, так і при її похідній, враховує всі ефективні характеристики покриття – приведені теплоємність, термоопір, теплопровідність та кривину. Для одношарових покриттів без урахування променевої компоненти він збігається (або еквівалентний за точністю) з відповідними УГУ конвективного теплообміну тіл з покриттями, отриманими раніше [10, 26] та за нехтування теплообміном випромінювання [4, 31]. Для пластинчатих ($K = 0$) покриттів УГУ (37) збігається з умовою в [20], а за одновимірної ($\beta = 0$) стаціонарної ($W = 0$) теплопровідності – з ефективною граничною умовою з праці [24].

Відзначимо, що для одношарового покриття варіант УГУ (30) з коефіцієнтами (33), який враховує лінійні і квадратичні члени за товщиною при температурі тіла та її похідній, збігається з УГУ з праці [29] та не збігається з відповідними з праць [4, 13, 31], оскільки за вихідне співвідношення там приймали наближене рівняння теплопровідності (6), хоча для плоских покриттів результати збігаються [12, 19, 23].

Можна зауважити, що варіант УГУ (37), який враховує лінійні члени при температурі та її похідній, для одношарового покриття з урахуванням нагрівання випромінюванням збігається з відповідною УГУ, наведеною в публікаціях [4, 31] за відсутності розподілених у покритті джерел тепла та теплових потоків, які враховують приховану теплоту кристалізації (плавлення), теплоту екзотермічних (ендотермічних) процесів, хімічних реакцій. Для плоских покриттів цей варіант (37) збігається з УГУ з праці [25] для непрозорого покриття на непрозорій основі.

Щодо багатшарових покриттів, то УГУ конвективного теплообміну, отримані в працях [5, 17, 34] операторним методом з використанням граничного переходу, збігаються з варіантом (37), що містить лінійні члени за товщиною при температурі тіла та її похідній, без урахування кривини та

променевої компоненти, а УГУ конвективного теплообміну для пластинчатих покриттів, з праці [18, с. 93], де використовували зведений коефіцієнт тепловіддачі, не враховуючи неідеальність теплового контакту, - з варіантом УГУ (39) з лінійними членами за товщиною при похідній від температури без урахування променевої компоненти при $K = 0$.

УГУ, отримані в працях [28, 30], які враховують лінійні і *квадратичні* члени за товщиною при температурі тіла та її похідній, не збігаються з варіантом (30) з коефіцієнтами (33), оскільки там за вихідне співвідношення приймали наближене рівняння теплопровідності (6), хоча УГУ, побудовані в працях [28, 30, 40, 42], які враховують лише відповідні *лінійні* члени, збігаються з УГУ (37).

УГУ (35) при $m \in \mathbb{N}$ матиме вигляд:

$$-l_1 \frac{\partial t_1}{\partial g} + H(t_{11} - t_1) = 0. \quad (41)$$

У такому випадку УГУ (41) можна розглядати як граничну умову конвективного теплообміну третього роду з коефіцієнтом тепловіддачі, рівним оберненому термоопору покриття H . Для одношарового покриття умова (41) збігається з варіантом граничної умови, наведеної в праці [11, с. 27; 36].

Слід зауважити, що УГУ (35), (37), (38) містять похідні за часом від граничної температури t_1 , а УГУ (30) з коефіцієнтами (33) - ще й від її похідної $\partial t_1 / \partial g$. З контактних умов (10) і початкової умови (11) отримаємо:

$$t_1 \Big|_{g=0, t=0} = t_{10}(a_1, a_2, 0), \quad \frac{\partial t_1}{\partial g} \Big|_{g=0, t=0} = \frac{l_1}{l_1} \frac{\partial t_{10}(a_1, a_2, g)}{\partial g} \Big|_{g=0}. \quad (42)$$

Як альтернативний варіант можна використати вираз через усереднене значення початкової температури за товщиною багатошарового покриття:

$$t_1 \Big|_{g=0, t=0} = \frac{1}{d} \int_{g_{i-1}}^{g_i} t_{i0}(a_1, a_2, z) dz. \quad (43)$$

Формули (42) та (43) можна застосувати для відповідних УГУ (30), (35), (37), (38).

Задовольняючи умови (9) на торцевій поверхні краю S інтегрально

$$\begin{aligned} \int_{i=1}^n (l_i L_i + m_i) \int_{g_{i-1}}^{g_i} t_i dg + s_0 \int_{i=1}^n e_i \int_{g_{i-1}}^{g_i} t_i^4 dg - \\ - \int_{i=1}^n \hat{e}_i m_i \int_{g_{i-1}}^{g_i} t_{Si} dg + s_0 e_i \int_{g_{i-1}}^{g_i} t_{Si}^4 dg = 0, \end{aligned} \quad (44)$$

використовуючи розклад (12), формули (17), (23), (21), отримаємо:

$$b_{S,1} t_1 + b_{S,2} \frac{\partial t_1}{\partial g} + s_0 \int_{j=0}^4 b_{S,j+3} t_1^{4-j} \frac{\partial^j t_1}{\partial g^j} - dT_S^m - dT_S^e = 0 \Big|_G, \quad (45)$$

де

$$b_{S,1} = \int_{i=1}^n (l_i L_i + m_i) \int_{m=0}^{\infty} \frac{d_i^{m+1}}{(m+1)} b_{i,m} F_{i-1}, \quad (46)$$

$$b_{S,j+3} = \int_{i=1}^n e_i \int_{m=0}^{\infty} \frac{d_i^{4m+1}}{4m+1} C_4^j b_{i,m,1}^{4-j} b_{i,m,2}^j, \quad j = 0, \mathbf{K}, 4, \quad (47)$$

$$b_{i,m} = \frac{1}{d} \frac{\partial b_{i,m,1}}{\partial g_{i-1}} b_{i,m,2} \dot{g} = \frac{1}{d} c_{i,m} d_{i,m} \dot{F}_{i-1}, \quad (48)$$

$$T_S^m = \frac{1}{d} \frac{\partial}{\partial g_{i-1}} \int_{g_{i-1}}^{g_i} m_i \dot{t}_S dg, \quad T_S^e = \frac{1}{d} s_0 \frac{\partial}{\partial g_{i-1}} \int_{g_{i-1}}^{g_i} e_i \dot{t}_S^4 dg. \quad (49)$$

Отже з (45) можна дістати відповідні розрахункові варіанти. Зокрема, якщо обмежитись лінійними членами за товщиною при температурі та квадратичними при похідній, одержимо:

$$\frac{\partial}{\partial g_{i-1}} \left(l_i L_i + m_i \right) \frac{\partial t_i}{\partial g} + \frac{l_i}{H_{i-1}} \frac{\partial t_i}{\partial g} \dot{g} + s_0 \frac{\partial}{\partial g_{i-1}} e_i \frac{\partial}{\partial g_{i-1}} \int_{g_{i-1}}^{g_i} C_j \frac{\partial l_i}{\partial H_{i-1}} \dot{g}^{4-j} \frac{\partial t_i}{\partial g} \dot{g} dg - dT_S^m - dT_S^e = 0. \quad (50)$$

Слід зауважити, що загалом умову (50) можна наближено замінити лінійною, оскільки вплив торцевої поверхні покриття-оболонки в загальному теплообміні незначний [27].

4. Визначення теплового стану в покритті. Після знаходження температурного поля в тілі, яке ґрунтується на розв'язуванні відповідної крайової задачі з узагальненими граничними умовами, можемо розрахувати температуру по товщині покриття за допомогою формул відновлення.

Підставляючи вирази (17), (21) і (23) з урахуванням позначення (48) у розклад (12), подамо температуру в покритті так:

$$t_i(a_1, a_2, g, t) = \sum_{m=0}^{\infty} (g - g_{i-1})^m b_{i,m} \dot{g}, \quad g_{i-1} \leq g \leq g_i, \quad i = 1, K, n. \quad (51)$$

Формулу (51) використовували для відновлення температурного поля в покритті після розв'язування відповідної крайової задачі теплопровідності в області тіла з УГУ.

Обмежуючись лінійними членами розкладу в (51), отримуємо

$$t_i(a_1, a_2, g, t) = t_i|_{g=0} + l_i \frac{\partial t_i}{\partial H_{i-1}} + \frac{g - g_{i-1}}{l_i} \frac{\partial t_i}{\partial g} \dot{g} \Big|_{g=0}, \quad g_{i-1} \leq g \leq g_i, \quad i = 1, K, n, \quad (52)$$

а обмежуючись квадратичними –

$$\begin{aligned} t_i(a_1, a_2, g, t) = & \frac{1}{d} \frac{\partial}{\partial g_{i-1}} \int_{g_{i-1}}^{g_i} m_j \dot{t}_S dg + W_j \frac{\partial t_i}{\partial g} \dot{g} (g - g_{i-1}) + \\ & + \frac{1}{d} D_i + \frac{1}{a_i} \frac{\partial}{\partial g_{i-1}} \frac{\partial (g - g_{i-1})^2}{\partial t} \dot{g} + t_i|_{g=0} + \\ & + \frac{l_i}{d} \frac{\partial}{\partial H_{i-1}} + (1 - 2k_{i-1})(g - g_{i-1}) - \\ & - k_i (g - g_{i-1})^2 \frac{\partial t_i}{\partial g} \dot{g} \Big|_{g=0}, \quad g_{i-1} \leq g \leq g_i, \quad i = 1, K, n. \quad (53) \end{aligned}$$

Таким чином, методика наближеного обчислення теплового стану в тілах з багатошаровими покриттями складається з двох етапів:

- 1) розв'язування неklasичної крайової задачі теплопровідності з узагальненими граничними умовами;
- 2) визначення температурного поля в покритті за формулами відновлення.

5. Тестова задача теплопровідності для циліндра з покриттям. Як тестову розглянемо одновимірну задачу теплопровідності для суцільного

циліндра радіусом R з одношаровим покриттям товщиною d за конвективного нагріву зовнішнім середовищем.

Рівняння теплопровідності і початкові умови мають вигляд

$$\frac{\partial t_1}{\partial t} = a_1 \frac{\partial^2 t_1}{\partial r^2} + \frac{1}{r} \frac{\partial t_1}{\partial r} \frac{\partial}{\partial t}, \quad \frac{\partial t_1}{\partial t} = a_1 \frac{\partial^2 t_1}{\partial r^2} + \frac{1}{r} \frac{\partial t_1}{\partial r} \frac{\partial}{\partial t}, \quad (54)$$

$$t_1|_{t=0} = t_0, \quad t_1|_{r=0} = t_0. \quad (55)$$

Вважаємо, що циліндр нагрівається середовищем за законом Ньютона

$$l_1 \frac{\partial t_1}{\partial r} = m(t_1 - t_{11}), \quad r = R + d, \quad (56)$$

на поверхні поділу покриття з тілом існують умови ідеального теплового контакту

$$t_1 = t_1, \quad l_1 \frac{\partial t_1}{\partial r} = l_1 \frac{\partial t_1}{\partial r}, \quad r = R, \quad (57)$$

а на осі циліндра виконується умова симетрії

$$\frac{\partial t_1}{\partial r} = 0, \quad r = 0. \quad (58)$$

Точний розв'язок цієї задачі відомий [3], а наближений для циліндра ґрунтується на розв'язуванні рівняння (54) в області тіла за початкової умови (55), умови симетрії (58) і узагальненої граничної умови, яка у цьому випадку слідує з (30), (33):

$$\begin{aligned} -l_1 \frac{\partial t_1}{\partial r} - \frac{d}{R} + \frac{d^2}{R^2} + \frac{m_1 c_1 - \frac{d}{2R} \frac{\partial}{\partial t}}{H} \frac{\partial t_1}{\partial r} + m(t_{11} - t_1) = \\ = c_1 \left[-\frac{d}{2R} + \frac{m}{2H} \right] \frac{\partial t_1}{\partial t} + \frac{W}{2H} l_1 \frac{\partial^2 t_1}{\partial r^2}, \end{aligned} \quad (59)$$

де $H = l_1 / d$, $W = w_1 d$.

Умова (59) записана для одношарового покриття для суто конвективного нагрівання. Застосовуватимемо її для двох випадків – під час збереження лише *лінійних* доданків при температурі та похідній і тоді, коли залишатимемо також *квадратичні*. Тут і надалі у рамках позначено доданки, які відповідають квадратичним членам при температурі та її похідній.

Використовуючи перетворення Лапласа, знаходимо розв'язок наведеної задачі для циліндра у вигляді

$$q_1(r, Fo) = 1 - 2Bi^* \sum_{j=1}^{\infty} \frac{J_0(r \alpha_j) \exp(-\alpha_j^2 Fo)}{Z(\alpha_j)}, \quad 0 \leq r \leq 1, \quad (60)$$

$$\begin{aligned} Z(\alpha_j) = J_0(\alpha_j) \left[\frac{c_1}{c_1} + 2\rho u - \frac{0.5u\alpha_j^2}{\alpha_j^2} \right] \frac{\partial}{\partial t} + \\ + (Bi^* - (\rho + \chi)u\alpha_j^2) \frac{(Bi^* - \rho u \alpha_j^2)}{(1 - 0.5u\alpha_j^2)} \frac{\partial}{\partial t}, \end{aligned} \quad (61)$$

де α_j – корені рівняння,

$$(Bi^* - \rho u a^2) J_0(k) - \left(1 - \frac{0.5 x u a^2}{R}\right) k J_1(k) = 0, \quad (62)$$

$$q_1 = \frac{t_1 - t_0}{t_{11} - t_0}, \quad r = \frac{r}{R}, \quad Fo = \frac{a_1 t}{R^2}, \quad p = 1 - \frac{d}{2R} + \frac{x Bi}{2},$$

$$x = \frac{H^{-1}}{R/l_1} = \frac{l_1}{l_1} \frac{d}{R}, \quad Bi^* = \frac{Bi}{1 - \frac{d}{R} + \frac{d^2}{R^2} + m \frac{a_1}{c_1} - \frac{d}{2R} \frac{\ddot{\theta}}{\dot{\theta}} / H},$$

$$u = \frac{W}{w_1 R \frac{a_1}{c_1} - \frac{d}{R} + \frac{d^2}{R^2} + m \frac{a_1}{c_1} - \frac{d}{2R} \frac{\ddot{\theta}}{\dot{\theta}} / H \frac{\ddot{\theta}}{\dot{\theta}}}, \quad Bi = \frac{mR}{l_1},$$

J_0, J_1 – функції Бесселя першого роду нульового і першого порядків.

Дослідимо точність отриманого розв'язку на прикладі задачі конвективного нагрівання циліндра з покриттям за таких співвідношень коефіцієнтів теплопровідності та теплоємності покриття і основи та умов нагріву: $l_1/l_1 = 0.5, w_1/w_1 = 1, Bi = 1$. На рис. 2 і 3 подано похибку розрахунку контактної температури $q_1(1, Fo)$: на рис. 2 – залежно від відносної товщини покриття для різних моментів часу, а на рис. 3 – для деяких значень товщини покриття залежно від часу.

Можна зауважити, що якщо по осі абсцис використано звичайну лінійну шкалу, то по осі ординат – логарифмічну.

Суцільні криві описують результати розрахунків за УГУ зі збереженням лише *лінійних* членів, а штрихові – зі збереженням *лінійних* та *квадратичних*.

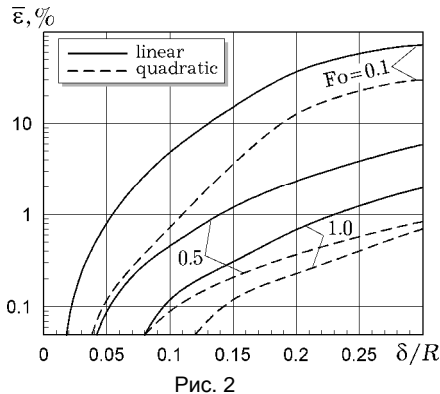


Рис. 2

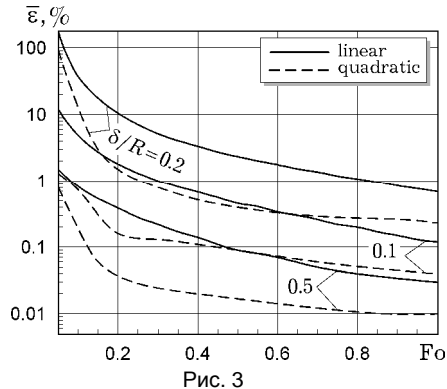


Рис. 3

Виявили, що похибка розрахунку за квадратичним наближенням завжди менша, ніж за лінійним. Для товщин $d/R \leq 0.05$ цілком прийнятні УГУ за *лінійного* наближення, причому для дуже малих товщин $d/R \leq 0.01$ отримуємо практично ідеальну точність. Для товщин $d/R \leq 0.2$ під час розрахунку перехідних режимів похибка як за лінійним, так і квадратичним наближенням є *неприйнятною*, бо перевищує десятки відсотків. Для товщин $0.05 < d/R < 0.2$ похибка за лінійним наближенням *суттєво більша* (в декілька разів), ніж за квадратичним і, очевидно, в цьому інтервалі товщин квадратичне наближення є суттєво кращим за лінійне.

Висновки. Для задачі теплопровідності розроблено підхід до побудови узагальнених граничних умов радіаційно-конвективного теплообміну тіл із середовищем через неплоскі багаточарові покриття, який ґрунтується на використанні точного рівняння теплопровідності в покритті і розвинення

функції температури за товщиною покриття в степеневий ряд. Цей підхід дозволяє отримувати розрахункові варіанти узагальнених граничних умов з різною точністю. Також виведено формули відновлення для розподілу температури за товщиною покриття через граничні значення температури та її похідної в тілі.

Викладену процедуру подання граничних значень температури та її похідної на поверхні поділу шарів через відповідні їх значення на поверхні поділу покриття—тіло можна трактувати як реалізацію методу матриць переносу (transfer matrix method) стосовно процесу теплопровідності в багатошаровому середовищі.

Виявлено, що відомі УГУ є частковими випадками виведених розрахункових варіантів.

На прикладі тестової задачі конвективного нагріву циліндра з покриттям проілюстровано випадки, коли важливо утримувати додаткові члени вищого порядку в розрахункових варіантах УГУ.

Роботу виконано коштом бюджетної програми "Підтримка розвитку пріоритетних напрямків наукових досліджень" КПКВК 6541230.

1. *Аттетков А. В., Беляков Н. С.* Температурное поле неограниченного твердого тела, содержащего цилиндрический канал с термически тонким покрытием его поверхности // Теплофиз. высоких температур. – 2006. – 44, № 1. – С. 136–140.
Те саме: *Attetkov A. V., Belyakov N. S.* The temperature field of an infinite solid containing a cylindrical channel with a thermally thin surface coating // High Temp. – 2006. – 44, No. 1. – P. 139–143.
– <https://doi.org/10.1007/s10740-006-0016-0>
2. *Березовский А. А.* Нелинейные задачи теплоизлучающих тел с термически тонким покрытием // Задачи нестационарной теплопроводности. (Препр. 83.29. – Киев: Ин-т математики АН УССР), 1983. – С. 6–11.
3. *Вендин С. В.* О расчете нестационарной теплопроводности в многослойных объектах при граничных условиях третьего рода // Инж.-физ. журнал. – 1993. – 65, № 2. – С. 249–251.
Те саме: *Vendin S. V.* Calculation of nonstationary heat conduction in multilayer objects with boundary conditions of the third kind // J. Eng. Phys. Thermophys. – 1993. – 65, No. 2. – P. 823–825. – <https://doi.org/10.1007/BF00861548>
4. *Гаврись А. П., Шевчук П. Р.* Математическое моделирование процессов при высокотемпературном напылении покрытий // Мат. методы и физ.-мех. поля. – 1991. – Вып. 33. – С. 13–18.
Те саме: *Gavris' A. P., Shevchuk P. R.* Mathematical modeling of the processes occurring during high-temperature spray coating // J. Soviet Math. – 1993. – 65, No. 5. – P. 1818–1822. – <https://doi.org/10.1007/BF01097295>
5. *Гембара Н. О., Лучко Й. Й.* Моделювання теплопровідності оболонок з двостороннім багатошаровим покриттям // Вісник Тернопільськ. нац. техн. ун-ту. – 2013. – 69, № 1. – С. 222–230.
6. *Горбунов А. Д.* Аналитический расчёт нагрева (охлаждения) простых тел, покрытых тонкой оболочкой // Металлург. теплотехника. – 2010. – Вып. 2 (17). – С. 56–62.
7. *Дяконюк Л. М., Муха І. С., Савула Я. Г.* Моделювання і дослідження тепломасоперенесення у багатошарових середовищах з тонкими включеннями // Доп. НАН України. – 1998. – № 12. – С. 101–107.
8. *Ержанов Р. Ж., Мацевитый Ю. М., Султангазин У. М., Шерышев В. П.* Сосредоточенная емкость в задачах теплофизики и микроэлектроники. – Киев: Наук. думка, 1992. – 296 с.
9. *Зарубин В. С.* Расчет и оптимизация термоизоляции. – Москва: Энергоатомиздат, 1991. – 192 с.
10. *Иващук Д. В.* Исследование теплодиффузионных процессов и напряженного состояния в телах с покрытиями: Автореф. дис. ... канд. физ.-мат. наук. – Львов, 1978. – 16 с.
11. *Карслоу Г., Егер Д.* Теплопроводность твердых тел. – Москва: Наука, 1964. – 488 с.
Те саме: *Carslaw H. S., Jaeger J. C.* Conduction of heat in solids. – Oxford Oxfordshire: Clarendon Press, 1959. – 510 p.

12. Коляно Ю. М., Хомякевич Е. П. Граничные условия для определения обобщенных динамических температурных напряжений в телах с покрытиями // Термомеханические процессы в кусочно-однородных элементах конструкций. – Киев: Наук. думка, 1978. – С. 43–50.
13. Коляно Ю. М., Хомякевич Е. П. Обобщенная теплопроводность в телах с покрытиями, учитывающая кривизну покрытия // Инж.-физ. журн. – 1993. – 65, № 6. – С. 745–749.
Te same: *Kolyano Yu. M., Khomyakevich M. E.* Generalized heat conduction in coated bodies that accounts for the coating curvature // *J. Eng. Phys. Thermophys.* – 1993. – 65, No. 6. – P. 1251–1256. – <https://doi.org/10.1007/BF00861951>
14. Котаров Г. М. Умови спряження через термічно тонкий шар в задачах теплопровідності // Доп. НАН України. – 1996. – № 7. – С. 26–31.
15. Лерман Л. Б. Слоисто-неоднородные объекты с поверхностями раздела. Применение трансляционных матриц в некоторых прикладных задачах // Хімія, фізика та технологія поверхні. – 2016. – 7, № 3. – С. 255–284.
– <https://doi.org/10.15407/hftp07.03.255>
16. Лерман Л. Б., Породько Л. В. Построение трансляционных матриц для неоднородных дифференциальных операторов // *ScienceRise.* – 2014. – № 3/2(3). – С. 63–68. – <https://doi.org/10.15587/2313-8416.2014.27535>
17. Лучко Й. Й. Розрахунок теплопровідності бетонних плит з багат шаровими покриттями // Наук. вісник Мукачівськ. техн. ін-ту. – 2006. – Вип. 2. – С. 40–46.
18. Мотовиловец И. А., Козлов В. И. Термоупругость. – Киев: Наук. думка, 1987. – 264 с. – Механика связанных полей в элементах конструкций: в 5 т. – Т. 1.
19. Подстригач Я. С., Коляно Ю. М. Обобщенная термомеханика. – Киев: Наук. думка, 1976. – 312 с.
20. Подстригач Я. С., Коляно Ю. М., Семерак М. М. Температурные поля и напряжения в элементах электровакуумных приборов. – Киев: Наук. думка, 1981. – 344 с.
21. Подстригач Я. С., Чернуха Ю. А. Об уравнениях теплопроводности для тонкостенных элементов конструкций // *Мат. методы и физ.-мех. поля.* – 1975. – Вып. 2. – С. 54–59.
22. Подстригач Я. С., Швець Р. Н. Термоупругость тонких оболочек. – Киев: Наук. думка, 1978. – 344 с.
23. Подстригач Я. С., Шевчук П. Р. Температурные поля и напряжения в телах с тонкими покрытиями // *Тепловые напряжения в элементах конструкций.* – 1967. – Вып. 7. – С. 227–233.
24. Равин В. С. Об эффективных граничных условиях в задачах стационарной теплопроводности // *Инж.-физ. журн.* – 1967. – 12, № 4. – С. 540–541.
Te same: *Ravin V. S.* Effective boundary conditions in stationary heat conduction problems // *J. Eng. Phys. Thermophys.* – 1967. – 12, No. 4. – P. 290–291.
– <https://doi.org/10.1007/BF00836540>
25. Терлецький Р. Ф., Турій О. П. Моделювання і дослідження теплопереносу у пластинах з тонкими покриттями за врахування впливу випромінювання // *Мат. методи та фіз.-мех. поля.* – 2012. – 55, № 2. – С. 186–201.
Te same: *Terlets'kyi R. F., Turii O. P.* Modeling and investigation of heat transfer in plates with thin coatings with regard for the influence of radiation // *J. Math. Sci.* – 2013. – 192, No. 6. – P. 703–722.
– <https://doi.org/10.1007/s10958-013-1427-1>
26. Флейшман Н. П. Математичні моделі теплового спряження середовищ із тонкими чужорідними прошарками або покриттями // *Вісник Львів. ун-ту. Сер. мех.-мат.* – 1993. – Вип. 39. – С. 30–34.
27. Чернуха Ю. А. Задача теплопроводности для облучаемых многослойных оболочек // *Мат. методы и физ.-мех. поля.* – 1975. – Вып. 1. – С. 104–109.
28. Шевчук В., Гаврись О., Шевчук П. Нелінійна крайова задача радіаційно-конвективного теплообміну тіл з багат шаровими покриттями // *Машинознавство.* – 2010. – 46, № 6. – С. 35–41.
29. Шевчук В. А. До побудови узагальнених граничних умов конвективного теплообміну тіл із середовищем через тонкі неплоскі покриття // *Доп. НАН України.* – 2011. – № 7. – С. 76–82.
30. Шевчук В. А. Обобщенные граничные условия теплообмена тела со средой через многослойное тонкое покрытие // *Мат. методы и физ.-мех. поля.* – 1995. – Вып. 38. – С. 116–120.
Te same: *Shevchuk V. A.* Generalized boundary conditions for heat transfer between a body and the surrounding medium through a multilayer thin coating

- // J. Math. Sci. – 1996. – 81, No. 6. – P. 3099–3102.
– <https://doi.org/10.1007/BF02362603>
31. Шевчук П. Р., Гавриш А. П. Влияние лучевого нагрева на температурные режимы и остаточные напряжения при высокотемпературном напылении покрытий // Мат. методы и физ.-мех. поля. – 1989. – Вып. 30. – С. 69–73.
Те саме: *Shevchuk P. R., Gavris' A. P.* The influence of radiant heating on temperature schemes and residual stresses under high-temperature spray // J. Soviet Math. – 1993. – 63, No. 3. – P. 1371–1374.
– <https://doi.org/10.1007/BF01255745>
 32. Al Nimr M. A., Alcam M. K. A generalized thermal boundary condition // Heat Mass Transfer. – 1997. – 33, No. 1–2. – P. 157–161.
– <https://doi.org/10.1007/s002310050173>
 33. Bahar L. Y. Transfer matrix approach to layered systems // J. Eng. Mech. Div. – 1972. – 98, No. 5. – P. 1159–1172.
 34. Chen J.-L., Гембара Н. О., Гвоздюк М. М. Нестационарна температурна задача для циліндричної оболонки з багат шаровими тонкими покриттями // Фіз.-хім. механіка матеріалів. – 2018. – 54, № 3. – С. 49–57.
Те саме: *Chen J.-L., Hembara N. O., Hvozdyuk M. M.* Nonstationary temperature problem for a cylindrical shell with multilayer thin coatings // Material Sci. – 2018. – 54, No. 3 – P. 339–348. – <https://doi.org/10.1007/s11003-018-0190-3>
 35. Chen X., Pond C., Wang X. Effective boundary conditions resulting from anisotropic and optimally aligned coatings: the two dimensional case // Arch. Ration. Mech. An. – 2012. – 206, No. 3. – P. 911–951.
– <https://doi.org/10.1007/s00205-012-0547-y>
 36. Du F., Lovell M. R., Wu T. W. Boundary element method analysis of temperature fields in coated cutting tools // Int. J. Solids Struct. – 2001. – 38, No. 26–27. – P. 4557–4570. – [https://doi.org/10.1016/S0020-7683\(00\)00291-2](https://doi.org/10.1016/S0020-7683(00)00291-2)
 37. He B., Rui X., Zhang H. Transfer matrix method for natural vibration analysis of tree system // Math. Probl. Eng. – 2012. – Article ID 393204. – 19 p.
– <https://doi.org/10.1155/2012/393204>
 38. Li H. Effective boundary conditions of the heat equation on a body coated by functionally graded material // Discrete Cont. Dyn. Sys. A. – 2016. – 36, No. 3. – P. 1415–1430. <https://doi.org/10.3934/dcds.2016.36.1415>
 39. Moulton D., Pelesko J. A. Thermal boundary condition: an asymptotic analysis // Heat Mass Transfer. – 2008. – 44, No. 7. – P. 795–803.
– <https://doi.org/10.1007/s00231-007-0277-0>
 40. Shevchuk V. A. Calculation of thermal state of bodies with multilayer coatings // In Sliot P. M. A., Hoekstra A. G., Tan C. J. K., Dongarra J. J. (eds.) / Computational Science – ICCS 2002. ICCS 2002. Lecture Notes in Computer Science. – Berlin, Heidelberg: Springer, 2002. –Vol. 2330. – P. 500–509.
– https://doi.org/10.1007/3-540-46080-2_52
 41. Shevchuk V. A. Generalized boundary conditions to solving thermal stress problems for bodies with thin coatings // in Hetnarski R. B. (ed.). Encyclopedia of Thermal Stresses. – Dordrecht: Springer. – 2014. – Vol. 4. – P. 1942–1953.
– https://doi.org/10.1007/978-94-007-2739-7_601
 42. Shevchuk V. A. Modeling and computation of heat transfer in a system "body-multilayer coating" // Heat Transfer Res. – 2006. – 37, No. 5. – P. 421–423.
– <https://doi.org/10.1615/HeatTransRes.v37.i5.50>

ОБОБЩЕННЫЕ ГРАНИЧНЫЕ УСЛОВИЯ РАДИАЦИОННО-КОНВЕКТИВНОГО ТЕПЛОБМЕНА ТЕЛ СО СРЕДОЙ ЧЕРЕЗ МНОГОСЛОЙНЫЕ НЕПЛОСКИЕ ПОКРЫТИЯ

Предложен подход к построению обобщенных граничных условий радиационно-конвективного теплообмена тел со средой через неплоские многослойные покрытия, основанный на использовании точного уравнения теплопроводности в слоях покрытия и разложении функции температуры по координате вдоль нормали к поверхности раздела тело–покрытие в степенной ряд. Получены расчетные варианты обобщенных граничных условий с разной точностью. Выведены формулы восстановления для распределения температуры по толщине покрытия через граничные значения температуры и ее производной в теле.

Ключевые слова: теплопроводность, тонкое покрытие, многослойное покрытие, обобщенные граничные условия, радиационно-конвективный теплообмен

THE GENERALIZED BOUNDARY CONDITIONS OF RADIATIVE-CONVECTIVE HEAT EXCHANGE OF BODIES WITH ENVIRONMENT VIA MULTILAYER NONPLANAR COATINGS

An approach to constructing the generalized boundary conditions of radiative-convective heat exchange of bodies with the ambient medium via nonplanar multilayer coatings, which is based on the use of the exact heat equation in the coating layers and the expansion of a temperature function into a power series over the coordinate along the normal to the body-coating interface, has been suggested. Computational variants of generalized boundary conditions with different accuracy have been obtained. The recovery formulas for the temperature distribution over the coating thickness in terms of the boundary values of temperature and its derivative in the body have been derived.

Key words: heat conduction, thin coating, multilayer coating, generalized boundary conditions, radiative-convective heat exchange

Ін-т прикл. проблем механіки і математики
ім. Я. С. Підстригача НАН України, Львів

Одержано
18.05.18